



نوع مقاله: پژوهشی

دریافت مقاله: ۱۳۹۷/۰۷/۱۶

پذیرش مقاله: ۱۳۹۹/۰۲/۲۱

صفحات: ۱-۱۳

10.29252/mmi.1299.13990221

پایش محیطی ویترین‌های نمایش آثار موجود در موزه‌ها به منظور بررسی تأثیر ویژگی‌های فنی ویترین‌ها بر کیفیت هوای محیط داخل آنها

منیژه هادیان دهکردی* رسول وطن دوست** کریستف هرم***

استفان سایمون****

چکیده

مشخصات فنی همچون مواد و مصالح مورد استفاده در ساخت ویترین‌های نمایش و ابعاد و اندازه آنها ضمن آنکه اهمیت زیادی به لحاظ کیفیت نمایش و معرفی آثار و همچنین جذب مخاطب دارند، می‌توانند کیفیت هوای داخل ویترین و شرایط حفاظت و نگهداری آثار موجود در آن را نیز تحت تأثیر قرار دهند. این مقاله در صدد است با استفاده از نتایج سنجش و پایش‌های محیطی لازم، تأثیر مشخصات فنی ویترین‌های موزه‌ای در ۶ موزه در شهرهای تهران، برلین و بمبئی را بر روی کیفیت هوای درون آنها به لحاظ ترکیب شیمیایی و پتانسیل خورندگی بررسی نماید. طی طرح تحقیقاتی مربوطه، ضمن بررسی مواد و مصالح به کاررفته در ویترین‌ها، سرعت تبادل هوا با روش ردیابی گاز دی اکسید کربن، غلظت گازهای آلاینده داخلی و خارجی (گازهای ناشی از مواد و مصالح ویترین) با نمونه‌گیری غیرفعال، با استفاده از تیوب‌های پالمس و آنالیز نمونه‌ها با روش‌های کروماتوگرافی IC، HPLC و اسپکتروفوتومتری ماورای بنفسنجاق انجام شد. همچنین، پتانسیل خورندگی فضای داخل ویترین‌ها با بررسی کوپنهای فلزی مس، نقره و سرب، مورد ارزیابی قرار گرفت.

نتایج مطالعات نشان می‌دهند که استفاده از برخی مواد مصنوعی یا طبیعی در ساخت ویترین‌های نمایش حتی با انتشار کم گازهای اسیدی اسید استیک و اسید فرمیک، و فرمالدیید هم می‌تواند در ویترین‌های کاملاً بسته با سرعت تبادل هوای پایین در طول زمان، موجب افزایش غلظت آلاینده‌ها و آسیب به آثار شود. از سوی دیگر، ابعاد ویترین نیز ارتباط عکس با غلظت آلاینده‌های گازی دارند؛ به این ترتیب که در شرایط مشابه، ویترین‌های با ابعاد بزرگ‌تر، غلظت کمتری از آلاینده‌ها را نشان می‌دهند. لذا انتخاب مواد، سرعت تبادل هوای مناسب ویترین و همچنین شرایط ریزاقلیم مجموعاً با هم، نقش مهمی در کیفیت شرایط محیطی داخل ویترین دارند که به تبع آن، کیفیت حفاظت و نگهداری از آثار به نمایش درآمده را نیز تحت تأثیر قرار می‌دهند.

کلیدواژه‌ها: موزه، ویترین نمایش، پایش محیطی، آلاینده‌های گازی، پتانسیل خورندگی

m_hadian@yahoo.com

* استادیار، پژوهشگاه میراث فرهنگی و گردشگری (نویسنده مسئول).

arv@psc-restauro.com

** استادیار، دانشگاه آزاد اسلامی.

herm@hfbk-dresden.de

*** استاد دانشگاه هنرهای زیبای درسدن-آلمان.

stefan.simon@yale.edu

**** استاد دانشگاه بیل - آمریکا، نیوہاون.

مقدمه

تحقیقات انجام شده در سال های اخیر نشان داده که علاوه بر آلاینده های خارجی مثل گازهای O_3 , SO_2 , NO_2 حاصل از فعالیت های انسانی و طبیعی چون صنایع، ترافیک، کشاورزی، آتشنشان ها و غیره که می توانند کیفیت هوای داخل موزه ها را تحت تأثیر قرار دهند (Gysels et al, 2004; Ford & Adams, 1999; Worobiec et al, 2010; Kontozova et al, 2005)، آلاینده هایی مثل VOC , H_2S , O_3 نیز ناشی از تجزیه و فرسایش خود آثار، مواد و مصالح ساخت بنای موزه، تجهیزات، مبلمان و مواد و مصالح ویترین ها و کابینت های نگهداری و نمایش، و مواد مورد استفاده در حفاظت و مرمت آثار (Schieweck & Salthammer, 2009; Schieweck et al, 2007; Reddy et al, 2005; Larkin et al, 2000) همچنین حضور کارکنان و بازدید کنندگان & Samara, 2004) در فضاهای موزه های می توانند وجود داشته باشند. از سوی دیگر، طبق تحقیقات صورت گرفته، هر گروه از مواد، بسته به ترکیبات شیمیایی آنها، نوع خاصی از آلاینده ها را از خود متصاعد می کنند؛ به عنوان مثال، مخصوصات چوبی مصنوعی و طبیعی هر یک از گازهای اسید استیک، اسید فرمیک و فرمالدیید، Thickett et al, 2010؛ یا الیاف پشمی و لاستیک ها، منتشر کننده گازهای گوگردی هستند (Podany, 2006).

بنابراین مشخصات فنی همچون مواد و مصالح مورد استفاده در ساخت ویترین های نمایش و ابعاد و اندازه آنها ضمن آنکه اهمیت زیادی به لحاظ کیفیت نمایش و معرفی آثار و همچنین جذب مخاطب دارند، می توانند کیفیت هوای داخل ویترین و شرایط حفاظت و نگهداری آثار موجود در آن را نیز تحت تأثیر قرار دهند.

وقتی صحبت از کیفیت هوای در محیط های داخلی می شود، ترکیبی از سه گروه مؤلفه های ریزالنیم (دما و رطوبت نسبی)، آلاینده ها و سرعت تبادل هوا است که توأمان با هم آن را می سازند. این کیفیت می تواند تحت تأثیر عوامل بسیار زیاد داخلی و خارجی قرار گیرد. از جمله عوامل مهم تأثیرگذار بر کیفیت هوای داخل ویترین های نمایش، مشخصه های فیزیکی آنها شامل؛ مواد و مصالح، ابعاد و میزان باز یا بسته بودن آنها هستند. مطالعاتی که تا کنون در این ارتباط صورت گرفته اند و به برخی از آنها در بالا اشاره شده، عمدتاً شناسایی و اندازه گیری غلظت گازهای آلاینده منتشره از مواد و مصالح مورد استفاده در ساخت ویترین ها در شرایط آزمایشگاهی بوده اند. لذا سؤال این تحقیق آن است که سه مشخصه فیزیکی

ویترین های موزه ای در شرایط واقعی، با هم چه تأثیری بر کیفیت هوای داخلی آنها می گذارند؟ پیشینه پژوهش

آسیب های جدی همچون؛ رنگ پریدگی و تغییر رنگ (Whitmore & Cass, 1989)، کاهش استحکام الیاف خوردگی فلزات (Cao et al, 2009)، (Martin & Blades, 1994) (ناشی از گازهای آلاینده در محیط های موزه ای باعث شده اند که طی دهه های اخیر موضوع کیفیت هوای آلاینده های داخلی و خارجی در محیط موزه، یکی از دغدغه های مهم متخصصان حفاظت و مرمت آثار و موزه داران شود (Kucera, 2002; Troi et al, 2011; Worobiec et al, 2010).

موضوع کیفیت هوای در محیط های موزه ای، نخستین بار در سال 1850 از طریق گزارش تحقیقاتی در خصوص اثر آلودگی هوا و نقاشی های رنگ روغن در گالری ملی در شهر لندن توسط ایستلیک و فارادی مطرح شد (Ryhl-Svendsen, 2006; Brommelle, 1956). بعدها در سال 1899، گزارشی در خصوص نوعی آسیب در صدف های دریایی موجود در مخزن آثار منتشر شد (Byne, 1899). تحقیقات نشان دادند که این آسیب، ناشی از تأثیر گازهای آلاینده اسیدی منتشر شده از جعبه های چوبی نگهداری صدف ها بوده است. از آن زمان به بعد و به تدریج موضوع آلاینده های گازی و اثرات آنها روی آثار تاریخی، توجه بیشتری را به خود جلب کرد که در سال 1972، اندرو او دی در موزه بریتانیا روشی را برای ارزیابی کیفیت مواد مورد استفاده برای نگهداری یا نمایش آثار در مخازن و ویترین های نمایش در موزه ها با استفاده از کوپن های فلزی نقره، سرب و مس پایه گذاری کرد و در سال 1975، این روش اصلاح و تحت عنوان ایشان یعنی تست اودی^۱ شناخته شد. در این روش، اثر خورنده گازهای آلاینده متصاعد شده از مواد در شرایط مصنوعی با داما و رطوبت نسبی معین، مورد بررسی قرار می گیرد. باروی کار آمدن روش های نمونه گیری غیرفعال گازهای آلاینده مثل تیوب های پالمس^۲ از سال 1976 در محیط های موزه ای (Ashenden & Bell, 1991)، امکان مطالعات دقیق تر و گسترده تر در خصوص اندازه گیری غلظت گازهای آلاینده و ارزیابی کیفیت هوای در این مکان ها افزایش یافت.

روش پژوهش

به منظور بررسی تأثیر مشخصه های فنی ویترین های موزه ای بر کیفیت هوای داخل آنها، تعدادی از ویترین های نمایش در شرایط واقعی در موزه های دوران اسلامی و دوران

دسترسی به ویترین‌ها و موقعیت مکانی آنها در موزه که بیشترین ویژگی‌های فنی به لحاظ تنوع مواد و مصالح و کیفیت ساخت را پوشش می‌دهند، تعداد ۸ ویترین برای این مطالعه انتخاب شدند (جداول ۱ و ۲). نام این ویترین‌ها، بر اساس مخفف نام

باستان آسیا در پرگامون و موزه بده در برلین، موزه‌های رضا عباسی و کتابخانه و موزه ملی ملک در تهران و موزه پرنس ویلز در بمبهی با امکانات و تجهیزات معمول و پیشرفته، مورد مطالعه و پایش محیطی قرار گرفتند. بر اساس امکان

جدول ۱. موقعیت مکانی موزه‌ها و ویترین‌های نمایش مورد مطالعه

ردیف	موزه	موقعیت موزه در بافت شهری	نام ویترین	موقعیت مکانی ویترین در موزه
۱	موزه بده برلین	سه موزه در مرکز شهر در یک منطقه در مجاورت یکدیگر و نزدیک به خیابان اصلی با سطح آلووگی هوای پایین	BM-R131-V	سالن نمایش در ضلع جنوبی طبقه همکف موزه و بدون پنجره رو به بیرون، دور از درب ورودی موزه
۲	موزه دوران باستان آسیا، پرگامون، برلین		BM-R240-V	سالن نمایش در ضلع جنوبی طبقه دوم موزه با پنجره بسته رو به بیرون، دور از درب ورودی موزه
۳	موزه دوران اسلامی، پرگامون، برلین		VAM-R10-V	سالن نمایش در ضلع جنوبی طبقه اول موزه با پنجره نیمه‌باز رو به خیابان، دور از درب ورودی موزه
۴	کتابخانه و موزه ملی ملک، تهران		MIK-R1-V	سالن نمایش در ضلع شرقی طبقه اول موزه نزدیک به پنجره بزرگ نیمه‌باز رو به بیرون و دور از درب ورودی موزه
۵	موزه رضا عباسی، تهران	موزه در مرکز شهر در نزدیکی خیابان اصلی پرتردد و سطح آلووگی هوای بالا	MNM-R2-V	سالن نمایش در ضلع جنوبی طبقه همکف و بدون پنجره رو به بیرون موزه، با فاصله از درب ورودی موزه
۶	موزه پرنس ویلز، بمبهی	موزه در شمال شهر در مجاورت خیابان پرتردد و سطح آلووگی هوای بالا	RAM-R1-V	سالن نمایش در ضلع غربی طبقه دوم با پنجره‌های نیمه‌بسته رو به بیرون موزه، دور از درب ورودی موزه
۷	موزه پرنس ویلز، بمبهی	موزه در مرکز شهر با فضای سبز پیرامون و نزدیک به خیابان پرتردد با سطح آلووگی متوسط	CSMVS-G8-V2	سالن نمایش در ضلع شرقی طبقه اول بدون پنجره، دور از درب ورودی موزه
۸			CSMVS-G8-V1	سالن نمایش در ضلع شرقی طبقه اول بدون پنجره، دور از درب ورودی موزه

(نگارندگان)

جدول ۲. مشخصه‌های فنی ویترین‌های مورد مطالعه

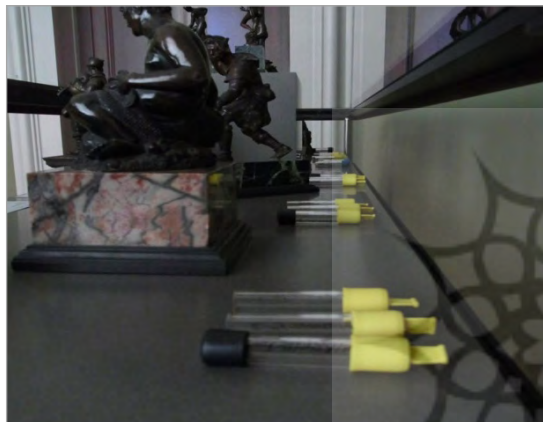
ردیف	نام ویترین	مواد و مصالح	ابعاد (cm)	حجم (m³)	مساحت کف (m²) ویترین
۱	BM-R131-V	شیشه، واشر سیلیکونی، ام دی اف با پوشش ملامینه	۱۴۲×۹۴/۵×۸۴	۱/۱	۱/۳
۲	BM-R240-V	شیشه، کوریان ^۳ ، واشر سیلیکوتی	۲۲۱×۵۱×۸۴	۱/۰	۱/۱
۳	VAM-R10-V	شیشه، فلز، نئوپان، واشر، پارچه نخی (کتان)	۱۴۹×۵۹×۲۵	۰/۲	۰/۹
۴	MIK-R1-V	شیشه، ام دی اف با پوشش ملامینه، واشر سیلیکونی	۴۹×۴۹×۱۱۰	۰/۳	۰/۹
۵	MNM-R2-V	شیشه، فلز، پارچه محملی (پنبه) بر روی ام دی اف معمولی، تخته سه لا و واشر	۱۴۰×۶۹×۱۰۰	۱/۱	۱/۰
۶	RAM-R1-V	شیشه، فلز، پارچه محملی (پشم) بر روی نئوپان و نوارهای درزگیر اسفنجی	۱۵۹×۵۹×۱۲۵	۱/۲	۰/۹
۷	CSMVS-G8-V2	شیشه، فلز، پارچه نخی (کتان) بر روی توری پلاستیکی نتلون ^۴	۱۲۹×۵۷/۵×۱۰	۰/۱	۰/۸
۸	CSMVS-G8-V1	شیشه، چوب ساج، واشر سیلیکونی	۱۱۷/۵×۵۷/۵×۸۵	۰/۶	۰/۷

(نگارندگان)

قابل مشاهده شدن اثرات خورندگی روی این کوپن‌ها، آنها به مدت یک سال در ویترین‌ها قرار داده شدند. سپس، تغییر رنگ کوپن‌هایی که با چشم غیرمسلح قابل تشخیص نبودند، با استفاده از دستگاه اسپکتروفوتومتر کونیکا مینولتا CM-2600D و بر اساس $a^*b^*L^*$ مورد بررسی و مقایسه قرار گرفت.

ثبت دما و رطوبت نسبی با فواصل زمانی ۱۵ دقیقه نیز به VOLTCRAFT DL-121TH USB وسیله دیتالاگرهای VOLT CRAFT DL-121TH USB testostor صورت گرفت. این اندازه‌گیری‌ها در دو و ۱۷۱ فصل سرما و گرما انجام شدند.

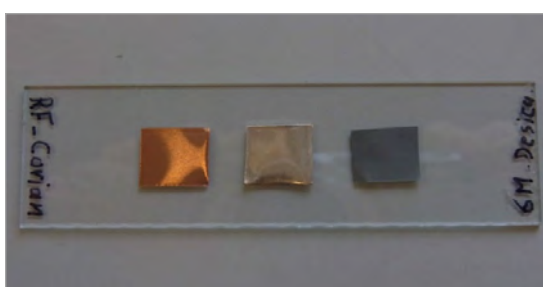
با توجه به برخی محدودیت‌ها در موزه‌های مورد مطالعه مثل CSMVS که تنها دو فصل در سال دارد، پایش و بعضی



تصویر ۱. قرار گیری تیوب‌های نمونه‌گیری پالمس در ویترین نمایش اثار (نگارندگان)



تصویر ۲. اندازه‌گیری سرعت تبادل هوا با روش ردبایی گاز CO_2 (نگارندگان)



تصویر ۳. کوپن‌های فلزی به ترتیب از راست به چپ سرب، نقره و مس (نگارندگان)

موزه و کد سالن نمایش قرار گیری آنها تعیین شده است. ضمن در نظر گرفتن مواد و مصالح به کاررفته در ویترین‌ها، و بعد و اندازه آنها، به منظور تجزیه و تحلیل دقیق تر داده‌های حاصل، ویترین‌ها به گونه‌ای انتخاب شدند که مساحت کف آنها مشابه باشد و آثار موجود در آنها به لحاظ ماهیت شیمیایی مانند فلز یا سفال، خود منتشر کننده آلاینده‌های گازی نباشند و کیفیت هوای داخل ویترین را تحت تأثیر قرار ندهند.

جهت نمونه‌برداری از گازهای آلاینده داخلی اسید استیک، اسید فرمیک و فرمالدیید و همچنین گازهای خارجی دی‌اسید نیتروژن و دی‌اسید گوگرد، از تیوب‌های غیرفعال پالمس با ابعاد $71 \times 11 \text{ mm}$ استفاده شد (هادیان دهکردی و دیگران، ۱۳۹۵). این روش به صورت دیفیوژن یا عبور آلاینده‌های گازی با غلظت بالا از میان مولکول‌های هوا به طرف غلظت پایین (فیلتر جاذب در تیوب) کار می‌کند. مدت زمان نمونه‌گیری با تیوب‌های فوق، ۲۸ روز و در دو نوبت فصل تابستان و زمستان بود. تعداد تیوب‌ها برای هر نمونه از هر نوع آلاینده، سه عدد بود که یکی از آنها به عنوان تیوب شاهد کاملاً بسته نگهداشته شد (Gibson & Watt, 2010; Gibson & Brokerhof, 2001; Byanju et al, 2012; Lopez-Aparicia et al,

(تصویر ۱).

اندازه‌گیری غلظت گازهای اسیدی اسید استیک، اسید فرمیک و دی‌اسید گوگرد پس از استخراج نمونه‌ها از فیلترهای مربوطه با استفاده از دستگاه کروماتوگرافی یونی مدل Metrohm, 690 Ion Chromatograph و ستون PRP-X300 با ابعاد $250 \times 4/0 \text{ mm}$ و غلظت گاز فرمالدیید با استفاده از دستگاه HPLC مدل MERCK HITACHI L-4500, Diode Array Detector and L-6200A و ستون Eurosphere 100-5 C18 با ابعاد $150 \times 4/0 \text{ mm}$ و غلظت گاز دی‌اسید نیتروژن با استفاده از دستگاه اسپکتروفوتومتر PYE UNICAM مدل P6-550 UV-Visible موج 542 nm انجام شد (Ibid).

برای تعیین سرعت تبادل هوا درون ویترین‌ها با تکنیک ردبایی گاز CO_2 از دستگاه قابل حمل Vaisala, GM70, GMP222 برای اندازه‌گیری غلظت این گاز در داخل ویترین و سنسور ALMEMO CO2, FY A600-CO2 برای میزان گاز CO_2 محیط سالن نمایش موزه، استفاده شد (Calver et al, 2005) (تصویر ۲).

پتانسیل خورندگی هوای داخل ویترین‌ها مشابه با تست اودی (Oddy, 1973)، با استفاده از کوپن‌های فلزی سرب، نقره و مس با درجه خلوص بالا (٪ ۹۹/۹۵) به ابعاد $1 \times 1 \text{ cm}^2$ ارزیابی شد (Grzywacz, 2006) (تصویر ۳). به منظور

نتایج و بحث

مشخصات فنی ویترین‌های نمایش مورد مطالعه شامل جنسیت مواد به کار رفته در این ویترین‌ها و همچنین ابعاد، حجم و سطح مقطع آنها، در جدول ۲ خلاصه شده‌اند. مساحت کف ویترین‌های ذکر شده در جدول، در واقع مربوط به مصالح کف یا پایه داخلی ویترین‌ها با جنس نشوپان، ام دی اف، کوریان و نتلون همراه با پوشش پارچه نخی با الیاف کتان یا محملي با الیاف پنبه و پشم است. اندازه این سطح تقریباً در بیشتر ویترین‌ها نزدیک به هم است. همچنین در یک مورد، تخته سه‌لادر سقف ویترین نیز به کار رفته است.

دما و رطوبت نسبی

میانگین دما و رطوبت نسبی اندازه‌گیری شده در ویترین‌ها، در جدول ۳ خلاصه شده است. کلیه ویترین‌ها به جز VAM-R10-V در فضاهایی قرار داشتند که مجهز به سیستم هواساز مرکزی یا فن کویل بودند. گرمایش فضای قرار گیری ویترین VAM-R10-V به وسیله شوافاژ و سرمایش آن با تهییه طبیعی تأمین می‌شد. از آنجا که موزه‌های مربوط به ویترین‌ها ردیف ۱ تا ۴ به لحاظ موقعیت جغرافیایی و مکانی در بافت شهری نزدیک و در مجاورت یکدیگر هستند و همچنین شرایط ریزاقلیم داخل آنها تحت کنترل است، لذا در مواردی که میانگین داده‌های مربوط به برخی فصول آنها در جدول ۳ ذکر نشده، قابل پیش‌بینی است و در نتیجه گیری تأثیری نخواهد داشت. به عنوان مثال، در سه فصل بهار، تابستان و پاییز رطوبت نسبی ویترین V-R1-MIK کم و پیش ۴۰٪ و

از سنجش‌های لازم تنها در یک فصل که به لحاظ دمایی قابل مقایسه با سایر ویترین‌ها بود، انجام شد.

اگرچه ابعاد مقطع ویترین MIK-R1-V، مربع با ابعاد $49 \times 49 \text{ cm}$ است، اما پایه‌ای روى کف اين ویترین به شکل هرم ناقص به عنوان پایه شىء طراحى شده است (تصویر ۴). سطح اين هرم، حدود $0/9$ متر مربع است.



تصویر ۴. پایه چوبی ام دی اف موجود در ویترین MIK-R1-V (نگارندگان)

جدول ۳. میانگین دما و رطوبت نسبی در ویترین‌های مورد مطالعه

میانگین رطوبت نسبی (%)								میانگین دما (°C)		ردیف	نام ویترین
زمستان	پاییز	تابستان	بهار	زمستان	پاییز	تابستان	بهار				
۴۷	۴۹	۴۹	۴۸	۲۴	۲۲	۲۱	۲۳	BM-R131-V		۱	
۴۵	۴۵	۴۸	۴۸	۲۴	۲۲	۲۲	۲۳	BM-R240-V		۲	
-	۴۶	۴۷	-	-	۲۱	۲۴	-	VAM-R10-V		۳	
-	۳۸	۴۲	۳۶	-	۲۴	۲۶	۲۵	MIK-R1-V		۴	
۲۴	۳۱	۳۳	۲۷	۲۰	۱۹	۲۵	۲۴	MNM-R2-V		۵	
۱۷	۲۵	۳۱	۲۲	۲۵	۲۳	۲۷	۲۷	RAM-R1-V		۶	
۵۹	-	-	-	۲۴	-	-	-	CSMVS-G8-V1		۷	
۵۷	-	-	-	۲۴	-	-	-	CSMVS-G8-V2		۸	

(نگارندگان)

سرعت تبادل هوا

همان طور که نتایج اندازه گیری سرعت تبادل هوا در جدول ۴ نشان می دهند، ویترین های ستون ۱، ۲ و ۴ کاملاً بسته (سرعت تبادل هوا ≥ 1)، ویترین های ۳، ۵ و ۶ نیمه بسته (سرعت تبادل هوا = $1-10$) و ویترین های ۷ و ۸ باز (سرعت تبادل هوا ≤ 10) محسوب می شوند (Tetreault, 2003).

غلظت گازهای آلاینده داخلی و خارجی

غلظت گازهای آلاینده داخلی ویترین های مورد مطالعه، در جدول ۵ خلاصه شده است. در اولین نگاه در تمامی موارد، بالاترین غلظت گازها در فصل گرم یعنی تابستان اندازه گیری شد. با توجه به نتایج به دست آمده ویترین BM-R240-V که در ساخت آن به جز شیشه از کوریان استفاده شده بود، بالاترین غلظت بخارات اسید استیک در این ویترین

نسبت به سه ویترین هم منطقه کمتر است؛ به همین ترتیب، احتمالاً رطوبت نسبی در این ویترین در فصل زمستان هم حدود ۴۰ - ۳۵٪ خواهد بود.

از آنجا که انتشار گازهای آلاینده ناشی از واکنش های شیمیایی مواد و مصالح در درجه حرارت های بالاتر از حد متعارف اتفاق می افتد و از سوی دیگر، در اینجا به دلیل نزدیک بودن دمای محیط ویترین ها به یکدیگر که تقریباً بین ۲۰-۲۵ درجه سانتیگراد (شرایط متعارف در موزه ها) است، می توان دمای محیط را به عنوان مؤلفه ثابت و بدون تأثیر در واکنش ها در نظر گرفت. این در حالی است که رطوبت نسبی در چهار ویترین اول دارای شرایط متعادل، دو ویترین ردیف ۵ و ۶ نسبتاً خشک و دو ویترین ۷ و ۸ مرطوب تر است. این مؤلفه، نقش مهمی در پتانسیل خورنده گی محیط دارد که در ادامه مورد بررسی قرار خواهد گرفت.

جدول ۴. نتایج اندازه گیری سرعت تبادل هوا در ویترین های مورد مطالعه

۸	۷	۶	۵	۴	۳	۲	۱
CSMVS-G8-V1	CSMVS-G8-V2	RAM-R1-V	MNM-R2-V	MIK-R1-V	VAM-R10-V	BM-R240-V	BM-R131-V
<۲۳	۲۳	۷/۲	۳/۴	۰/۲	۳/۹	۰/۱	۰/۱

(نگارندگان)

جدول ۵. غلظت گازهای آلاینده داخلی در ویترین های مورد مطالعه

ردیف	نام ویترین	اسید فرمیک ($\mu\text{g}/\text{m}^3$)		اسید استیک ($\mu\text{g}/\text{m}^3$)		فرمالدید ($\mu\text{g}/\text{m}^3$)	
		تابستان	زمستان	تابستان	زمستان	تابستان	زمستان
۱	BM-R131-V	ND	ND	۱۵۱۰	۶۵۳	ND	ND
۲	BM-R240-V	ND	ND	۲۳۳۲	۱۴۳۶	۲۷۱	۱۲۸
۳	VAM-R10-V	ND	ND	۷۵۳	۱۹۴	۱۲۱۴	۴۷۵
۴	MIK-R1-V	ND	ND	۹۴۰	۴۴۳	۲۷۸	۱۴۰
۵	MNM-R2-V	ND	ND	۵۴	-	۱۸۱	-
۶	RAM-R1-V	ND	ND	۱۳۷	-	۲۹۹	-
۷	CSMVS-G8- V1	-	۳	-	۱۶۵۹	-	۸۵
۸	CSMVS-G8-V2	-	ND	-	ND	-	۷۳

ND: not detectable (غیرقابل تشخیص)

- عدم دسترسی:

(نگارندگان)

این امر، کیفیت‌ها و فرآیندهای تولید متفاوت این محصولات چوبی در بازار است.

دو ویترین RAM-R1-V و MNM-R2-V که در ساخت آنها از مواد و مصالح منتشرکننده گازهای آلاینده مثل نتوپان، تخته سه‌لا، اasher و اسفنج استفاده شده، در مقایسه با ویترین‌های مشابه مانند BM-R131-V به لحاظ حجم و اندازه به نسبت غلظت این آلاینده‌ها را کم نشان می‌دهند. اگرچه به دلیل محدودیت‌های موزه‌ها امکان سنجش غلظت گازهای اسید استیک و اسید فرمیک در این دو ویترین در فصل زمستان فراهم نشد، اما می‌توان مطمئن بود که این مقادیر از غلظت گازهای فوق در فصل تابستان کمتر خواهند بود ($299 \mu\text{g}/\text{m}^3$ و $181 \mu\text{g}/\text{m}^3$ در دو ویترین دوم یعنی $54 \mu\text{g}/\text{m}^3$ و $137 \mu\text{g}/\text{m}^3$ در دو ویترین، جزء ویترین‌های نیمه‌بسته هستند و تبادل هوا با محیط بیرون، موجب کاهش غلظت گازهای آلاینده در آنها شده است. از سوی دیگر، پایین بودن غلظت این آلاینده‌ها در مقایسه با مورد مشابه VAM-R10-V به لحاظ مواد و مصالح، ابعاد کف چوبی ویترین و سرعت تبادل هوا، آنچه موجب تفاوت چشمگیر آنها شده، حجم ویترین‌ها است که ویترین VAM-R10-V حدود ۱ متر مکعب کوچک‌تر از دو ویترین مشابه است.

ویترین CSMVS-G8-V2 هم که اساساً از شیشه و فلز ساخته شده و پوشش کف آن از نتلون است، کمترین غلظت آلاینده‌ها را نشان می‌دهد. نتلون، نام تجاری نوعی بافت پلاستیکی از موادی مثل پلی اتیلن با حداقل انتشار آلودگی است. این ویترین به طور نسبی، ابعاد کوچکی نیز دارد. صرف نظر از جنس مواد و مصالح، آنچه که مانع از انباست آلاینده‌های داخلی در آنها شده، سرعت تبادل هوای زیاد در آن است. این ویترین، جزء گروه ویترین‌های باز است.

همان‌طور که نتایج آنالیز (جدول ۶) نشان می‌دهند، بیشترین آلاینده‌های خارجی خصوصاً گازهای SO_2 در فصل زمستان و NO_2 در فصل تابستان، در ویترین‌های ردیف ۵ و ۶ هستند. این آلاینده‌ها در ویترین‌های ردیف ۱ و ۲ که بسته هستند، کمترین مقدار را دارند. این نتایج، نشان‌دهنده شدت آلودگی محیط بیرون موزه‌ها ناشی از موقعیت آنها در بافت شهری و تأثیر سرعت تبادل هوا در ورود گازهای آلاینده به ویترین‌های مورد مطالعه هستند. یک مورد استثنای عینی ویترین MIK-R1-V نیز وجود دارد که علی‌رغم بسته بودن و تبادل هوای کم ویترین، اما به نسبت غلظت گاز NO_2 در آن زیاد است. علت این امر می‌تواند سرعت تبادل هوای بیشتر این ویترین (۰/۲۰) نسبت به ویترین‌های ردیف ۱ و ۲ (۰/۱۲) باشد.

اندازه‌گیری شد ($2332 \mu\text{g}/\text{m}^3$). کوریان کامپوزیت آکریلیک و آلومینیم تری هیدراته است که حداقل انتشار آلاینده گازی را دارد (Šenitková & Tomčík, 2013). پس از آن نیز ویترین‌های CSMVS-G8-V1 و BM-R131-V باقیه ویترین‌ها نشان گاز را بالاتر ($1659 \mu\text{g}/\text{m}^3$ و $1510 \mu\text{g}/\text{m}^3$) دادند. ویترین BM-R131-V با وجودی که دارای تبادل هوای زیادی است و باز محسوب می‌شود، به دلیل جنسیت آن یعنی چوب ساج در میان چوب‌های طبیعی، دارای انتشار گاز اسید استیک زیادی است (Gibson & Watt, 2010). در ویترین دوم یعنی BM-R131-V نیز از ام دی اف با پوشش ملامینه کیفیت بالا که حداقل آلودگی را به همراه دارد، استفاده شده است. دو ویترین BM-R240-V و BM-R131-V دارای سرعت تبادل هوای کمتر از ۱ هستند که در گروه ویترین‌های بسته قرار دارند. اگرچه غلظت گازهای آلاینده منتشره از مواد مورد استفاده در ساخت این ویترین‌ها (کوریان و ام دی اف با پوشش ملامینه) ناچیز است، اما به دلیل بسته بودن کامل ویترین‌ها و عدم تبادل هوا، طی چند ماه این غلظت افزایش چشمگیری یافته است (Schieweck & Salthammer, 2011).

بالاترین غلظت گاز اسید فرمیک ($1214 \mu\text{g}/\text{m}^3$)، مربوط به ویترین VAM-R10-V و در فصل تابستان است. در این ویترین به جز فلز و شیشه، از نتوپان در ساخت کف آن استفاده شده است. نتوپان، یکی از مصالح با بیشترین انتشار گاز فرمالدیید است (Dudzinska et al., 2009). از آنجا که این گاز در اثر اکسیداسیون به اسید فرمیک تبدیل می‌شود، به همین دلیل فرمالدیید به جز یک مورد در ویترین‌ها شناسایی نشد. این ویترین به لحاظ سرعت تبادل هوا، جزء ویترین‌های نیمه‌بسته محسوب می‌شود. نشتی کم این ویترین، مانع از افزایش بیشتر غلظت این گاز در آن شده است. ویترین MIK-R1-V که حجم یکسان با ویترین فوق را دارد، اما با وجود تبادل هوای خیلی کم و بسته بودن کامل غلظت آلاینده‌های آن کمتر است. علت این امر، به مصالح مورد استفاده یعنی ام دی اف بر می‌گردد که انتشار گاز فرمالدیید یا اسید فرمیک آن خیلی کمتر از نتوپان است. افزایش غلظت گاز اسید استیک منتشرشده از این ماده مانند دو ویترین BM-R131-V و BM-R240-V نیز به دلیل بسته بودن و تبادل هوای کم ویترین است.

نکته قابل توجه دیگر، در خصوص غلظت گازهای اسیدی موجود در دو ویترین BM-R131-V و MIK-R1-V است که با وجود یکسان بودن نوع مصالح مورد استفاده در آنها یعنی چوب ام دی اف، مقادیر متفاوتی را نشان می‌دهند. علت

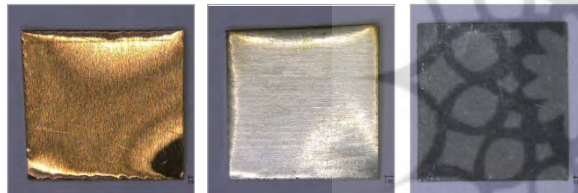
انسانی (Dubus et al, 2007) و خارجی چون؛ صنایع، سیستم فاضلاب و فعالیت‌های آتشنشانی (Ankersmit et al, 2005) است. دو عامل عدم وجود منابع داخلی و سرعت تبادل هوای کم ویترین مانند V-MIK-R1-V و BM-R131-V موجب می‌شود تأثیر این آلودگی روی آثار نقره به حداقل برسد. نکته قابل توجه در خصوص ویترین BM-R240 آن است که با وجود یکسان بودن سرعت تبادل هوا با ویترین BM-R131-V و قرارگیری در یک موزه، اما در این ویترین آثار تارشده‌گی در نقره دیده می‌شوند که نشان‌دهنده وجود یک عامل داخلی هستند (تصویر ۷). با توجه به مواد و مصالح به کاررفته در این ویترین (فلز، شیشه، کوریان و واشر) و نوع آثار موجود در آن (یعنی فلز، تنها احتمال عامل انتشار این گاز، مواد درزگیر ویترین است که حتی با انتشار مقادیر ناچیز این گاز (در حد ppt) در محیط کاملاً بسته نیز می‌توانند انباشت شده و افزایش یافته و موجب تغییر رنگ زیاد در نقره شوند. اگرچه نوع درزگیر به کاررفته در ویترین MIK-R1-V نیز از نوع سیلیکونی ذکر شده است، اما اثرات

همچنین، نزدیکی این ویترین به یک پنجره بزرگ نیمه‌باز رو به بیرون در فصل تابستان باشد. جزئیات بیشتر این آلاینده‌ها، خارج از موضوع مقاله هستند.

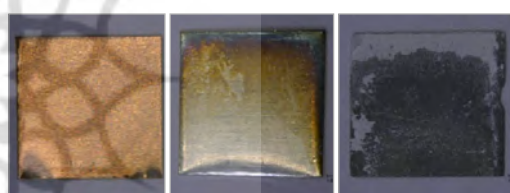
پتانسیل خورندگی

ارزیابی پتانسیل خورندگی محیط داخلی ویترین‌های مورد مطالعه و تأثیر غلظت گازهای اندازه‌گیری شده روی آثار، از طریق کوپن‌های فلزی مس، سرب و نقره و همچنین تغییر رنگ آنها صورت گرفت (تصاویر ۵ و ۶). همان‌طور که نتایج جدول ۷ نشان می‌دهند، بیشترین تغییر رنگ ظاهری در کوپن‌های نقره و سپس کوپن‌های سرب مشاهده می‌شود. کوپن‌های مسی تقریباً در تمام موارد بدون تغییر ظاهری هستند.

کوپن‌های نقره در ویترین‌های نیمه‌بسته و باز، بیشترین تارشده‌گی را نشان می‌دهند. یکی از دلایل اصلی تارشده‌گی نقره، وجود گازهای سولفوره (H_2S) در محیط با منابع داخلی همچون پلاستیک‌ها و الیاف پشمی و عوامل



تصویر ۶. تغییرات ظاهری کوپن‌های سرب (راست)، نقره (وسط) و مس (چپ) در ویترین MIK-R1-V (نگارندگان)



تصویر ۷. تغییرات ظاهری کوپن‌های سرب (راست)، نقره (وسط) و مس (چپ) در ویترین VAM-R10-V (نگارندگان)

جدول ۶. غلظت گازهای آلاینده خارجی در ویترین‌های مورد مطالعه

ردیف	نام ویترین	زمستان	تابستان	زمستان	تابستان	$SO_2 (\mu\text{g}/\text{m}^3)$	$NO_2 (\mu\text{g}/\text{m}^3)$
۱	BM-R131-V	ND	ND	۵	۶		
۲	BM-R240-V	۲	۸	ND			
۳	VAM-R10-V	ND	۸	ND			
۴	MIK-R1-V	ND	۳۰	۱۷			
۵	MNM-R2-V	۲۷	۳۱	۲۳			
۶	RAM-R1-V	۴۶	۲۱	۷			
۷	CSMVS-G8-V1	ND	-	۱۵			
۸	CSMVS-G8-V2	۳	-	۵			

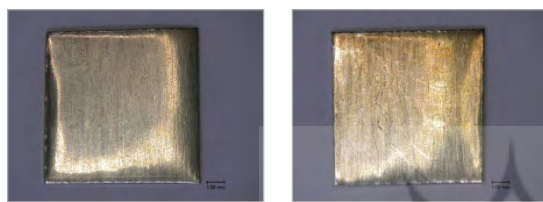
ND: not detectable (غیرقابل تشخیص)

عدم دسترسی: -

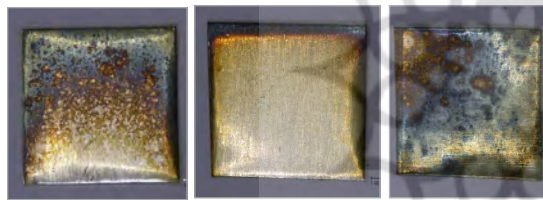
(نگارندگان)

استیک را نشان داده بودند مانند MIK-R1-V دیده می‌شود. بخارات اسید استیک به تنهایی حتی در غلظت‌های زیاد مانند V-BM-R240-Tأثیر کمتری در خوردگی کوپن‌های سربی دارند (Tetreault, et al, 2003). در سایر موارد که غلظت گازهای اسیدی کمتر از $200 \mu\text{g}/\text{m}^3$ است، کوپن‌ها خوردگی بسیار ناچیز یا عدم خوردگی را با چشم غیرمسلح نشان می‌دهند.

در خصوص کوپن‌های مسی، به جز یک مورد خیلی ضعیف، تغییری مشاهده نشد. با توجه به غلظت آلاینده‌های شناسایی شده و همچنین میزان رطوبت لازم برای تأثیر گازهایی مثل دی‌اکسید



تصویر ۷. کوپن‌های نقره‌ای در دو ویترین V-BM-R240 (راست) و R-BM-R131 (چپ) (نگارندگان)



تصویر ۸. تغییرات ظاهری کوپن نقره در خارج از ویترین‌های سه موزه MIK (راست)، VAM (وسط) و BM (چپ) در مجاورت یکدیگر، دو موزه راست و وسط، آمار بازدیدکنندگان زیاد بوده و سمت چپ، بازدیدکننده کم دارد (نگارندگان).

تارشدنگی نقره در این ویترین‌ها مشاهده نشدند. علت این امر می‌تواند به کیفیت تولید مواد و ناخالصی‌های آنها مربوط شود که همگی با نام تجاری یکسان به فروش می‌رسند.

با توجه به نیمه‌بسته بودن یا باز بودن سایر ویترین‌ها و تبادل هوا با محیط بیرون آنها، عامل اصلی آلاینده‌های سولفور (H_2S) می‌تواند خارجی و اساساً ناشی از تنفس‌های انسانی کارکنان موزه و بازدیدکنندگان (Mouratidou & Samara, 2004) و عوامل خارجی بیرون از محیط موزه باشد. شدت تغییر رنگ یا تارشدنگی کوپن‌های نقره که به منظور ارزیابی کیفیت هوای سالن‌های نمایش سه موزه با یک موقعیت مکانی در شهر باحضور بازدیدکنندگان متفاوت قرار داده شده بود، این فرضیه را ثابت می‌کند (تصویر ۸). نتایج مربوط به این تحقیقات نیز به‌زودی منتشر می‌شوند. در خصوص این نوع ویترین‌ها باید گفت که علاوه بر عوامل خارجی، احتمال عوامل داخلی تولید گاز سولفور مانند پارچه محمل با الیاف پشمی مورد استفاده در کف ویترین (MNM-R2-V و RAM-R1-V) و واشرهای درزگیر در آنها نیز می‌تواند در این تارشدنگی نقش داشته باشد. البته با توجه به سرعت تبادل هوا و حجم مواد مورد استفاده، نقش واشرها در این میان کم‌رنگ‌تر خواهد بود.

طبقه تست اودی، پتانسیل خورنده‌گی گازهای اسیدی نیز از روی کوپن‌های سربی قابل بررسی است. همان‌طور که نتایج مربوطه در جدول ۷ نشان می‌دهند، بیشترین تغییر یا خوردگی در ویترین VAM-R10-V با بالاترین غلظت گاز اسید فرمیک رخ داده است. پس از آن، این خوردگی در ویترین‌هایی که غلظت بالاتری از این گاز همراه با گاز اسید

جدول ۷. شدت خوردگی کوپن‌های فلزی با چشم غیرمسلح

ردیف	نام ویترین	نقره	سرب	مس
۱	BM-R131-V	+	++	-
۲	BM-R240-V	++	++	+
۳	VAM-R10-V	+++	++++	-
۴	MIK-R1-V	-	+++	-
۵	MNM-R2-V	+++	-	-
۶	RAM-R1-V	++++	+	-
۷	CSMVS-G8-V1	++	-	-
۸	CSMVS-G8-V2	++++	++++	کوپن‌های مربوطه مفقود شدند

بدون تغییر: -، کم: +، متوسط: ++، زیاد: +++, خیلی زیاد: +++++.

پژوهشگران این روش را برای بررسی اثرات خودگی محسوس در این کوپن‌ها شده است. تغییر رنگ جزئی در کوپن مسی مربوط به ویترین BM-R240-V می‌تواند ناشی از تأثیر گاز گوگردی و یا گاز اسید استیک زیاد موجود در آن باشد. وجود این آلاینده‌ها قبل از رسیله کوپن نقره‌ای و اندازه‌گیری غلظت گازهای آلاینده در آن اثبات شده است (تصویر ۷ و جدول ۵). ناچیز بودن سرعت تبادل هوا در این ویترین، نقش مهمی در اثربخشی بیشتر این گازها روی سطح کوپن داشته است. اثبات این فرضیات، نیازمند انجام تست اودی به طور مجزا بر روی هر یک از مواد به کاررفته در ویترین‌ها است. از آنجا که امکان نمونه‌برداری از ویترین‌های موجود در موزه همیشه امکان‌پذیر نیست، لذا این آزمایش باید بر روی نمونه‌های یکسان یا مشابه گردآوری شده از مراکز ساخت ویترین‌ها انجام شود.

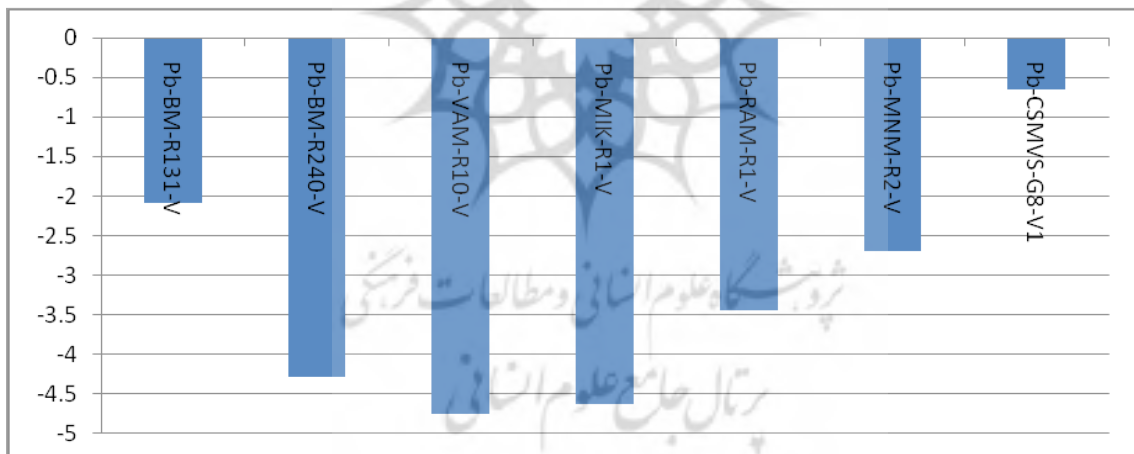
لازم به ذکر است که اگرچه کوپن‌های فلزی قرارداده شده در ویترین CSMVS-G8-V2 مفقود شدند، اما از آنجا که نیتروژن و دی‌اسید گوگرد، کم بودن میزان رطوبت نسبی در ویترین‌های RAM-R1-V و MNM-R2-V (جدول ۳) و کم بودن غلظت آلاینده‌ها (عمدتاً کمتر از $10 \mu\text{g}/\text{m}^3$ یعنی زیر حد بالای پیشنهادی برای این آلاینده‌ها در موزه Pavlogorgatos (2003) در سایر ویترین‌ها (جدول ۶)، مانع از اثرات خودگی محسوس در این کوپن‌ها شده است. تغییر رنگ جزئی در کوپن مسی مربوط به ویترین BM-R240-V می‌تواند ناشی از تأثیر گاز گوگردی و یا گاز اسید استیک زیاد موجود در آن باشد. وجود این آلاینده‌ها قبل از رسیله کوپن نقره‌ای و اندازه‌گیری غلظت گازهای آلاینده در آن اثبات شده است (تصویر ۷ و جدول ۵).

ناچیز بودن سرعت تبادل هوا در این ویترین، نقش مهمی در اثربخشی بیشتر این گازها روی سطح کوپن داشته است. اثبات این فرضیات، نیازمند انجام تست اودی به طور مجزا بر روی هر یک از مواد به کاررفته در ویترین‌ها است. از آنجا که امکان نمونه‌برداری از ویترین‌های موجود در موزه همیشه امکان‌پذیر نیست، لذا این آزمایش باید بر روی نمونه‌های یکسان یا مشابه گردآوری شده از مراکز ساخت ویترین‌ها انجام شود.

لازم به ذکر است که اگرچه کوپن‌های فلزی قرارداده شده در ویترین CSMVS-G8-V2 مفقود شدند، اما از آنجا که

نتایج اندازه‌گیری غلظت آلاینده‌ها در این ویترین مقادیر بسیار کمی را نشان دادند، لذا تغییر قابل مشاهده‌ای در این کوپن‌ها نمی‌توانست ایجاد شود و در نتیجه‌گیری نهایی تأثیری نخواهد داشت.

به منظور بررسی دقیق‌تر کوپن‌های سربی که گاه تغییر رنگ آنها با چشم غیر مسلح قابل مشاهده نبوده یا همراه با خطای است، این تغییرات با دستگاه رنگ‌سنج و بر اساس متغیرهای a^* , b^* , L^* نیز مورد مطالعه قرار گرفتند. بر این اساس، L^* مربوط به میزان روشنایی رنگ، a^* مربوط به محور رنگ سیز-قرمز و b^* محور زرد-آبی است (Ryer, 1998). بر اساس داده‌های به دست آمده، بیشترین تغییر قابل بررسی در کوپن‌های سرب در متغیر b^* مشاهده شد (Thickett et al, 2008). به این ترتیب که رنگ کوپن‌های MIK-R1-V, VAM-R10-V و VAM-R240-V سربی خورده شده خصوصاً b^* به سمت اعداد منفی با رنگ آبی متمایل شد (تصویر ۹). با توجه به شناسایی گازهای آلاینده اسیدی که کم و بیش تقریباً در کلیه ویترین‌ها مشاهده شده، این تغییر رنگ در کوپن‌های سربی دور از انتظار نیست.



تصویر ۹. نمودار تغییرات b^* در کوپن‌های سربی به طرف اعداد منفی با رنگ آبی (نگارندگان)

نتیجه‌گیری

نتایج حاصل از این تحقیق را می‌توان در دو زمینه کاربردی و پژوهشی به شرح ذیل خلاصه کرد؛ با توجه به تنوع موادی که شرکت‌های مختلف تولید کرده و یا جهت ساخت ویترین‌ها و کابینت‌های موزه‌ها مورد مصرف قرار می‌دهند اعم از مصالح ساختمانی، تزئینی، درزگیرها، پایه‌های نمایش آثار و غیره و اینکه هر کدام بسته به نوع مواد و فرآیند تولید کیفیت‌های مختلفی داشته باشند، می‌توانند آلاینده‌هایی را به همراه داشته باشند. آگاهی از ترکیب شیمیایی و حصول اطمینان از کیفیت آنها قبل از سفارش ساخت یا خرید، به عنوان یک ضرورت باید در دستور کار موزه‌ها قرار گیرد. در حد امکان، تعویض و جایگزینی مواد و مصالح نامناسب همچون؛ نئوپان، ام دی اف و واشرهای پلاستیکی یا سیلیکونی حاوی ترکیبات گوگردی، با مصالح باکیفیت‌تر در ویترین‌های قدیمی نیز اکیداً توصیه

می‌شود. همچنین در حد امکان، باید از استفاده از چوب‌های طبیعی مثل ساج در ساخت ویترین یا محفظه‌های نگهداری آثار اجتناب کرد.

نکته دیگر، بسته بودن کامل ویترین و عدم تبادل هوا در آن حتی در صورت استفاده از مصالحی با کمترین آلودگی همچون کوریان نیز گاه می‌تواند عامل تهدیدی برای آثار محسوب شود؛ به این ترتیب که در ویترین‌های بسته اگرچه از ورود آلاینده‌های خارجی جلوگیری می‌شود، اما غلظت گازهای آلاینده داخلی موجود در آن را می‌تواند افزایش دهد. در این صورت، باز کردن گاه به گاه چنین ویترین‌هایی برای تبادل هوا، کمک زیادی به کاهش غلظت آلودگی در آنها می‌کند. در ارتباط با ویترین‌های نیمه‌بسته که به نسبت درصد بالاتری از ویترین‌های موزه‌ها را شامل می‌شوند، باید گفت آثار موجود در آنها می‌توانند بیشتر در معرض خطر آلاینده‌های خارجی و همچنین نوسانات دما و رطوبت قرار گیرند که در این صورت، باید تا حد امکان محیط موزه در مقابل ورود این آلاینده‌ها به فضاهای داخلی بسته و تغییرات ریزاقلیمی تحت کنترل باشد.

با توجه به حساسیت بالای نقره نسبت به گازهای گوگردی و تارشده‌گی آنها، قرار دادن این نوع اشیا در ویترین یا محفظه‌های بسته (حداقل تبادل هوایی) مانع از این آسیب می‌شود. در این صورت، باید از عدم وجود منابع داخلی آلودگی در محیط مورد نظر نیز اطمینان حاصل کرد. طبق منابع موجود، استفاده از مواد جاذب آلودگی مثل ذغال فعل و حتی سیلیکاژل در محفظه یا ویترین آثار، راهکار مؤثری در کاهش آلاینده‌های گازی در آنها است. ناگفته نماند که ابعاد و اندازه ویترین علاوه بر مسائل زیبایی‌شناسانه و کیفیت نمایش آثار، فاکتور مهمی دیگری است که می‌تواند بر کیفیت هوای درون آن به لحاظ غلظت آلاینده‌های گازی نیز اثرگذار باشد. آثار موجود در ویترین‌های با ابعاد کوچک‌تر و تبادل هوایی کم، بیشتر در معرض خطر آلاینده‌های داخلی هستند.

قرار دادن کوپنهای فلزی و مشابه با تست اودی اما در شرایط واقعی در محیط موزه می‌تواند کیفیت هوا که ترکیبی از متغیرهای مختلف ریزاقلیم، آلاینده‌ها و سرعت تبادل هوا است را به خوبی نشان دهد. آلاینده‌های آلی فرار مثل اسید استیک و اسید فرمیک بسته به ترکیب و ساختار شیمیایی مواد به نسبت‌های مختلف از آنها منتشر می‌شوند. نتایج بررسی کوپنهای سرب مورد مطالعه نشان دادند که تأثیر این آلاینده‌ها در غلظت‌های کمتر از $200 \mu\text{g}/\text{m}^3$ روی آثار سربی با چشم غیرمسلح محسوس نیست. از سوی دیگر، پایین بودن میزان رطوبت نسبی حتی در شرایطی با غلظت بالای آلاینده‌های گازی خورنده مثل دی‌اسید گوگرد و دی‌اسید نیتروژن، مانع از خوردگی آثار فلزی مثل مس می‌شود. البته برای دست‌یابی به اطلاعات دقیق‌تر، نیاز به انجام تحقیقات بیشتری است. همچنین با توجه به بافت‌های مختلفی که در اثر خوردگی روی کوپنهای نقره در داخل و خارج از ویترین‌ها ایجاد شدند، آنالیز شیمیایی و مطالعات ساختاری آنها می‌تواند کمک زیادی به بررسی فرآیند تارشده‌گی نقره نماید که در مقالات بعدی به آن نیز پرداخته خواهد شد.

لازم به توضیح است که اگرچه کیفیت هوا از طریق سه نوع فلز مس، نقره و سرب صورت می‌گیرد، اما به این معنی نیست که تنها کیفیت نگهداری آثار با چنین جنسیت‌هایی ارزیابی شود، بلکه این سه فلز نقش سنسور برای کیفیت هوا و آلاینده‌هایی هستند که می‌توانند سایر آثار همچون بافته‌ها، اسناد کاغذی و نقاشی‌ها را نیز تحت تأثیر قرار دهند. بنابراین بر اساس نتایج خوردگی کوپنهای فلزی، می‌توان در خصوص شرایط نگهداری سایر آثار نیز پیش‌بینی لازم را به عمل آورد.

در نهایت نیز می‌توان نتیجه گرفت استفاده از روش رنگ‌سنگی در تشخیص زودهنگام خطر تهدیدکننده آثار از طریق تغییر رنگ کوپنهای فلزی خصوصاً کوپنهای سربی ناشی از تأثیر گازهای آلاینده اسیدی با دوز کم، بسیار مفید و کارآمد باشد.

شناخت مواد و مصالح موجود در بازار کشور و مورد استفاده در ساخت کابینت‌ها، ویترین‌ها و مبلمان موزه‌ای و همچنین ارزیابی کیفی آنها از طریق تست اودی، بخش بعدی این پژوهش خواهد بود. در حال حاضر تست اودی، بهترین راهکار عملی برای آگاهی از انتشار آلاینده‌های گازی مضر مواد و شدت تأثیرگذاری آنها بر روی آثار است

که در انتخاب مواد و مصالح موجود در بازار با نام‌های تجاری یکسان اما کیفیت تولید متفاوت، کمک می‌نماید.

سپاسگزاری

در اینجا شایسته است از همکاری کلیه کسانی که ما را در انجام این پروژه یاری نمودند تشکر و قدردانی شود؛ همکاران آزمایشگاه تحقیقاتی راتگن و مستولین حفاظت و مرمت موزه‌های پرگامون و بده در برلین، همکاران بخش حفاظت و مرمت موزه پرنس ویله بمبئی، سرکار خانم لیلا سوداگر مسئول بخش حفاظت و مرمت و خانم پریسا کردبگلی امین اموال موزه رضا عباسی، همچنین سرکار خانم سمیرا حسینیان و جناب آقای مهدی کلیایی از بخش حفاظت و مرمت، و آقای نوشاد رکنی معاون پژوهشی کتابخانه و موزه ملی ملک. لازم به ذکر است که این پروژه با حمایت‌های مالی مؤسسه تبادلات دانشگاهی آلمان (DAAD) انجام شده است.

پی‌نوشت

1. Oddy test
2. Palms
3. Corian
4. Netlon

۱۲

منابع و مأخذ

- هادیان دهکردی، منیزه؛ وطن دوست، رسول؛ هرم، کریستف و سایمون، استفان (۱۳۹۵). اندازه‌گیری غلظت آلاینده‌های گازی NO_2 و SO_2 در محیط‌های موزه‌ای تهران به روش غیرفعال. *فصلنامه علوم محیطی*، ۱۴(۴)، ۱۷۴-۱۶۵.
- Ankersmit, H. A.; Tennenth, N. H. & Wattsc, S. F. (2005). Hydrogensulfide and carbonyl sulfide in the museum environment-Part 1. *Atmospheric Environment*, 39, 695- 707.
- Ashenden, T. W. & Bell, S. A. (1991). Measuring field concentrations of nitrogen dioxide using diffusion tubes (Report). Bangor: Institute of Terrestrial Ecology.
- Brommelle, N. (1956). Material for a History of Conservation. The 1850 and 1853 Reports on the National Gallery. *Studies in Conservation*, 2 (4), 176-188.
- Byanju, R. M.; Gewali, M. B. & Manandhar, K. (2012). Passive sampling of ambient nitrogen dioxide using local tubes. *Environmental Protection*, 3, 177-186.
- Byne, L. G. (1899). The corrosion of shells in cabinets. *Journal of Conchology*, 9 (6), 172- 176.
- Calver, A.; Holbrook, A.; Thickett, D. & Weintraub, S. (2005). Simple methods to measure air exchange rates and detect leaks in display and storage enclosures in The Hague. **ICOM committee for conservation- 14th triennial meeting**. London: James & James: Earthscan. 597- 609.
- Cao, X.; Wang, N. & Liu, N. (2009). Synergistic effect of chloride and NO_2 on the atmospheric corrosion of bronze. *Anti-Corrosion Methods and Materials*, Volume 56 (6), 299-305.
- Dubus, M.; Le-Ho, A.-S. & Moulherat, C. (2007). Impact of the textiles used to decorate museum showcases on the corrosion of silver collections. *Zeitschrift fuer kunsttechnologie und konservierung*, 21, 256-- 259
- Dudzinska, M. R.; Staszowska, A. & Polednik, B. (2009). Preliminary study of effect of furniture and finishing materials on formaldehyde concentration in office rooms. *Environment Protection Engineering*, 35, 225- 233.



- Ford, D. & Adams, S. (1999). Deposition rates of particulate matter in the internal environment of two London museums. *Atmospheric Environment*, 33, 4901-4907.
- Gibson, L. & Brokerhof, A. (2001). A passive tube-type sampler for the deterioration of formaldehyde vapours in museum enclosures. *Studies in Conservation*, 46, 289- 303.
- Gibson, L. & Watt, C. (2010). Acetic and formic acids emitted from wood samples and their effect on selected materials in museum environments. *Corrosion Science*, 52, 172- 178.
- Grzywacz, C. M. (2006). **Monitoring for Gaseous Pollutants in Museum Environment**. Los Angeles, USA: the Getty concervation institute.
- Gysels, K. & et al. (2004). Indoor environment and conservation in the Royal Museum of Fine Arts, Antwerp, Belgium. *Journal of Cultural Heritage*, 5, 221-230.
- Kontozova, V. & et al. (2005). Assessment of air pollution levels in some European museums and churches. **Cultural heritage conservation and environmental impact assessment by non-destructive testing and micro-analysis**. Van Grieken, R. & Janssens, K. (Eds.). Leiden, Netherlands: A.A. Balkema publishers, 245-263.
- Kucera, V. (2002). changing pollution situation and its effect on material corrosion. **Proceedings of the 5th EC Conference, Cultural Heritage Research: a Pan-European Challenge**. Poland: Institute of Catalysis and Surface Chemistry. 23-29.
- Larkin, N.; Blades, N. & Makidou, E. (2000). Investigation of volatile organic ompounds associated with polyethylene and polypropylene container used for conservation storage. *The Conservator*, 24, 41- 51.
- Lopez-Aparicia, S. & et al. (2010). Measurement of organic and inorganic pollutants in micro climate frames for paintings. *e-preservation science*, 7, 59-70.
- Martin, G. & Blades, N. (1994). Cultural property environmental monitoring, Preprints of the contributions to IIC 1994 Ottawa Congress. **Preventive conservation: practice, theory and research**. London: Archetype Publications. 159-163.
- Mouratidou, T. & Samara, C. (2004). PM2.5 and associated ionic component concentrations inside the archaeological museum of Thessaloniki, N. Greece. *Atmospheric Environment*, 38, 4593-4598.
- Oddy, W. (1973). An unsusoected danger in display. *Museum journal*, 73, 27- 28.
- Pavlogeorgatos, G. (2003). Environmental parameters in museums. *Building and Environment*, 38, 1457- 1462.
- Podany, J. (2006). Corrosion of Metal Artifacts and Works of Art in Museum and Collection Environments. **ASM Handbook, Volume 13C: Corrosion: Environments and Industries**. In: Cramer, S. D. & Covino, B. S. J. (Eds.). Novelty Ohio: ASM International. 279- 288.
- Reddy, M.; Suneela, M.; Sumathi, M. & Reddy, R. (2005). Indoor air quality Salarjung Museum, Hyderabad, India. *Environmental Monitoring and Assessment*, 105, 359-367.
- Ryer, A. (1998). **Light Measurement Handbook**. Newburyport-USA: International Light Inc.
- Ryhl-Svendsen, M. (2006). Indoor air pollution in museums: a review of prediction models and control strategies. *Reviews in Conservation*, 7, 27-41.
- Salthammer, T.; Mentese, S. & Marutzky, R. (2010). Formaldehyde in the Indoor Environment. *Chem. Rev.*, 110, 2536- 2572.

- Schieweck, A. & et al. (2007). Occurrence of organic and inorganic biocides in the museum environment. *Atmospheric Environment*, 41, 3266-3274.
 - Schieweck, A. & Salthammer, T. (2009). Emissions from construction and decoration materials for museum showcases. *Studies in Conservation*, 54, 218- 235.
 - Schieweck, A. & Salthammer, T. (2011). Indoor air quality in passive type museum showcases. *Journal of Cultural Heritage*, 12 (2), 205- 213.
 - Šenitková, I. & Tomčík, T. (2013). Interior Materials Impact to Indoor Air Quality. *Advanced Science Letters*, 19 (3), 955- 959.
 - Tetreault, J. (2003). **Airborne pollutants in museums, galleries and archives: Risk assessment, control strategies and preservation management.** Ottawa: Canadian Conservation Institute.
 - Tetreault, J. & et al. (2003). Corrosion of copper and lead by formaldehyde, formic and acetic acid vapours. *Studies in conservation*, 48, 237- 250.
 - Thickett, D. (1998). Sealing of MDF to prevent corrosive emissions. *Conservator*, 22, 4956-.
 - Thickett, D.; Stanley, B. & Booth, K. (2008). Retrofitting old display cases. **ICOM committee for conservation- 15th triennial meeting.** New Delhi; Mumbai; Kolkata: Allied Publishers Pvt. Ltd. 775- 782.
 - Troi, A. & et al. (2011). Museum environment: Monitoring fully and partially conditioned rooms within SMooHS project, Markus Krueger. **Proceedings of the European Workshop on Cultural Heritage Preservation.** Germaniy, Hemsbach: Beltz Druckpartner GmbH & Co. KG. 62-69.
 - Whitmore, P. M. & Cass, G. R. (1989). The fading of artists' colorants by exposure to atmospheric nitrogen dioxide. *Studies in conservation*, 33, 85- 97.
 - Worobiec, A. & et al. (2010). Transport and deposition of airborne pollutants in exhibition areas located in historical buildings- study in Wawel Castle Museum in Cracow Poland. *Journal of Cultural Heritage*, 11, 354- 359.



Received: 2018/10/08

Accepted: 2020/05/10

Environmental monitoring of display cases in museums to consider the impact of display cases characteristics on their inner air quality

Manijeh Hadian Dehkordi* **Rasool Watan Doost****

Christoph Pyramid* Stephen Simon ******

Abstract

1

While technical characteristics, such as material used in the construction of display cases and their dimensions are important factors in terms of presentation quality as well as attracting the attention of the visitors, they can influence the inner air quality of the display case and preservation conditions of the exhibits too. This study intends to examine the effect of the technical characteristics of display cases in 6 museums located in the cities of Tehran, Berlin, and Bombay on the interior air quality in terms of chemical composition and corrosion potentials by adopting the results obtained from the analysis ad examination of the environment.

In the course of the investigation, the manufacturing materials in the display cases were considered. Furthermore, the air exchange rate through the carbon dioxide tracer gas was measured, the concentration of gaseous pollutants (emitted from display case materials) via passive sampling by Palmes tubes and analysis of the samples by IC, HPLC and UV/visible spectrophotometer were carried out. Furthermore, the corrosive potential of the display cases was evaluated by copper, silver, and lead metal coupons. The results showed that the use of synthetic or natural materials in the construction of display cases even with low emission, acetic and formic acid, and formaldehyde might be increased in the airtight display cases with low air exchange rate over time because of accumulation of pollutants. These gaseous pollutants could damage the exhibits in the display cases. On the other hand, the dimensions of the display case are inversely proportional to the concentration of pollutants. In the same way, larger display cases show lower concentrations of pollutants. Therefore, the choice of materials and the air exchange rate of display cases play an important role in the air quality within the display case, which also affects the quality of the conservation and preservation of the exhibits.

Keywords: Museum, Display case, Environmental monitoring, Gaseous pollutants, Corrosion potential, Materials

* Assistant Professor, Cultural Heritage and Tourism Research Institute.

m_hadian@yahoo.com

** Assistant Professor, Islamic Azad University.

arv@ysc-restauro.com

*** Professor at the University of Fine Arts in Dresden, Germany.

herm@hfbk-dresden.de

**** Professor at Yale University - USA, New Haven.

stefan.simon@yale.edu